



افزایش اثر ضد قارچی نانو ذرات سلنیوم بیوسنتز شده با استفاده از آسپرژیلوس فومیگاتوس

حمید صادقیان^۱، حسین زرین‌فر^۲، هادی صفری^۳، محمدحسین احمدی^۳، مائد طهان^۴، مهدی حسینی‌باققی^{۵*}

۱- دانشیار گروه علوم آزمایشگاهی، دانشکده علوم پیراپزشکی، دانشگاه علوم پزشکی مشهد، مشهد، ایران.

۲- دانشیار گروه انگل‌شناسی و قارچ‌شناسی پزشکی، دانشکده پزشکی، دانشگاه علوم پزشکی مشهد، مشهد، ایران.

۳- استادیار گروه علوم آزمایشگاهی، دانشکده علوم پیراپزشکی، دانشگاه علوم پزشکی مشهد، مشهد، ایران.

۴- کارشناس علوم آزمایشگاهی، گروه علوم آزمایشگاهی، دانشکده علوم پیراپزشکی، دانشگاه علوم پزشکی مشهد، مشهد، ایران.

۵- دکترای Ph.D. میکروبیولوژی، گروه علوم آزمایشگاهی، دانشکده علوم پیراپزشکی، دانشگاه علوم پزشکی مشهد، مشهد، ایران.

تاریخ دریافت: ۱۴۰۰/۱۱/۱۷، تاریخ پذیرش: ۱۴۰۱/۰۳/۲۸

چکیده

مقدمه: سنتزهای سبز (زیستی) به عنوان روش‌های جدید سنتز نانو ذرات با رویکردی ساده، زیست سازگار، بی خطر و اقتصادی می‌توانند جایگزین روش‌های شیمیایی و فیزیکی باشند. قارچ‌ها قادر به تبدیل برخی یون‌های سمی به اشکال کمتر سمی از جمله نانو ذرات هستند. نانو ذرات با اندازه ۱ تا ۱۰۰ نانومتر دارای خواص کوانتومی منحصر به فرد می‌باشند. امروزه معضلات مقاومت‌های دارویی در گونه‌های مختلفی از قارچ‌ها دیده می‌شود. نانو ذرات سلنیوم (SeNPs) از موادی هستند که خاصیت ضد قارچی آنها گزارش شده است. هدف از مطالعه حاضر بررسی اثر ضد قارچی نانو ذرات سلنیوم بیوسنتز شده با استفاده از آسپرژیلوس فومیگاتوس بود.

مواد و روش‌ها: به این منظور SeNPs به کمک قارچ آسپرژیلوس فومیگاتوس با غلظت مشخص بیوسنتز شدند. حضور نانو ذرات با روش‌های مختلف از جمله Zeta potential DLS XRD EDX FE-SEM FT-IR UV-Vis آثبات شد. سپس تعیین حساسیت بر اساس حداقل غلظت بازدارندگی رشد به کمک تست Minimum Inhibitory Concentration (MIC) بر روی سویه‌های استاندارد قارچی تیمار شده با SeNPs انجام شد.

نتایج: پس از تأیید نتایج حاصل از بیوسنتز نانو ذرات، MIC برای ایترکوتانازول و آمفوتیریسین B علیه سویه‌های استاندارد قارچی مورد مطالعه به ترتیب، ۱ و ۴ میکروگرم در میلی‌لیتر بود. در حالی که مقادیر MIC برای نمونه‌های تیمار شده با SeNPs به ۱ میکروگرم در میلی‌لیتر و کمتر از آن کاهش یافت.

نتیجه گیری: با توجه به ایجاد روند صعودی مقاومت قارچ‌های فرست طلب نسبت به داروهای ضد قارچی هدف، به کارگیری نانو ذرات سلنیوم زیستی حتی در غلظت‌های پایین نیز می‌تواند اثرات بازدارندگی مطلوبی بر روی رشد عوامل بیماری‌زای قارچی داشته باشد.

واژه‌های کلیدی: سنتز سبز، نانو ذرات سلنیوم، آسپرژیلوس، مقاومت دارویی، MIC

تویینده مسئول: ایران، مشهد، میدان آزادی، پردیس دانشگاه، دانشکده علوم پیراپزشکی، گروه علوم آزمایشگاهی، تلفن: ۹۱۵۵۱۷۹۹۲۷، نمبر: ۰۵۱۳۸۸۴۶۷۲۸، Email: m_hosseini79@yahoo.com

ارجاع: صادقیان حمید، زرین‌فر حسین، صفری هادی، احمدی محمدحسین، طهان مائد، حسینی‌باققی مهدی. افزایش اثر ضد قارچی نانو ذرات سلنیوم بیوسنتز شده با استفاده از آسپرژیلوس فومیگاتوس. مجله دانش و تدرستی در علوم پایه پزشکی ۱۷:۱۴۰۱(۳):۵۱-۴۰.

عفونت‌های منتشر به سایر اندام‌ها ایجاد کند (۱۳). آسپرژیلوزیس تهاجمی ریوی حاد، عفونت شدید و کشنده‌ای است که در بیماران دچار نقص سیستم ایمنی، نوتروپنی، گرانولوماتوز مزمن، بدخیمی‌های خونی، شیمی‌درمانی، دریافت کنندگان پیوند مغز استخوان و سایر بافت‌ها و همچنین در موارد استفاده طولانی مدت از استروئیدها و آنتی‌بیوتیک‌ها مشاهده می‌شود (۱۴ و ۱۵). گونه‌های آسپرژیلوس همچنین نقش مهمی در عفونت‌های سیستمیک بیمارستانی دارا هستند (۱۶). با وجود درصد ناچیز (حدود ۱ درصد) از عوامل عفونت‌های بیمارستانی قارچی، این قارچ‌ها به عنوان عامل اصلی نگرانی در عفونت‌های بیمارستانی هستند و عفونت‌های آسپرژیلوزیس مهاجم تا ۹۰ درصد موجب مرگ و میر می‌شوند (۱۷). در درمان این عوامل قارچی گروه‌های مختلف داروهای ضد قارچی از جمله داروهای گروه آزول (مثل ایتراکونازول، کتوکونازول و فلوکونازول) و داروهای گروه پلی ان (مثل آمفوتريپسين B) با مصرف وسیع کاربرد دارند، که میکرووارگانیسم‌های مذکور تا حدودی نسبت به آنها مقاوم شده‌اند (۱۸). نانو ذرات سلنیوم از موادی هستند که خاصیت ضد میکروبی، ضد قارچی و ضد انگلی آنها گزارش شده است (۱۹). سلنیوم به عنوان یک ریزمغذی از عناصر موردنیاز و ضروری بدن بوده و تأثیر نانو ذرات سلنیوم بر سلامت انسان بهدلیل سازگاری و بی‌خطر بودن مطرح می‌باشد (۲۰). همچنین مزایای استفاده از نانو ذرات سلنیوم عبارت اند از: خواص زیست پزشکی در تشخیص و درمان، ضد دیابت، تقویت و تعادل سیستم ایمنی، فعالیت آنتی اکسیدانی، موثر در درمان کبد چرب، اثرات مثبت روی هضم غذا، پیشگیری از سرطان، خواص ضد قارچی، بهبود توانایی یادگیری، نقش در تولید مثل و خواص ضد باکتریایی (۲۱). لذا به کارگیری نانو ذرات سلنیوم سنتز شده به روش زیستی به عنوان عوامل ضد میکروبی و بررسی اثر این نانو ذرات بر روی رشد عوامل قارچی بیماری‌زا با توجه مشکلات مقاومت‌های دارویی ایجاد شده توسط این میکرووارگانیسم‌ها، می‌تواند مورد بررسی و کاربرد قرار گیرد.

مواد و روش‌ها

سویه‌های استاندارد قارچی مورد استفاده در این مطالعه از گروه قارچ‌های رشتهدی آسپرژیلوس فومیگاتوس (A. fumigatus) و آسپرژیلوس فلاووس (A. flavus) می‌باشند و عبارتند از: A. fumigatus: TIMML-026، fumigatus: TIMML-025 و A. flavus: TIMML-379 که از بخش استانداردسازی گروه قارچ‌شناسی دانشگاه علوم پزشکی تهران تهییه شدند.

نانو ذرات سلنیوم به روش زیستی (سیز) و به کمک یک سویه استاندارد از قارچ رشتهدی آسپرژیلوس فومیگاتوس به نام A.

مقدمه

سنتزهای زیستی (سیز) به عنوان روش‌های جدید سنتز نانو ذرات می‌توانند جایگزین روش‌های شیمیایی و فیزیکی باشند. تحقیقات متمرکز با استفاده از این مزیت برای سنتز نانو ذرات، یک رویکرد ساده، زیست سازگار، بی‌خطرو و اقتصادی است (۱). به تازگی محققان منابع بیولوژیکی مختلفی را برای سنتز نانو ذرات پیشنهاد کرده‌اند؛ به گونه‌ای که مواد مؤثره و متابولیت‌های احیاکننده تعداد زیادی از ارگانیسم‌های زنده، مانند باکتری‌ها، قارچ‌ها، جلبک‌ها، گیاهان و عصاره‌های گیاهی برای سنتز نانو ذرات مختلف به عنوان واسطه انتخاب می‌شوند (۲ و ۳). موجودات بیولوژیکی مانند گیاهان، قارچ‌ها یا باکتری‌ها قادر به تبدیل برخی یون‌های سمی به اشکال با سمیت بسیار پایین‌تر، از جمله رسوبات و یا نانو ذرات هستند. در سال‌های اخیر، سیستم‌های قارچی به عنوان کارخانه زیستی ساخته شده‌اند که می‌توانند نانو ذرات فلزی مثل نقره، طلا، روی، پلاتینیوم و کادمیوم را تولید کنند. فرآیندی که قارچ‌ها نانو ذرات فلزی را سنتز می‌کنند، مایکوفابریکیشن گفته می‌شود (۴). نانو ذرات در اندازه ۱ تا ۱۰۰ نانومتر به دلیل دارا بودن خواص کوانتومی و ویژگی‌های منحصر به فرد شیمیایی و فیزیکی، کاربردهای فراوانی در علوم پزشکی دارند (۵). مزایای کلی استفاده از نانو ذرات عبارت اند از: توانایی دستکاری خواص فیزیکی و شیمیایی ذرات مانند مورفولوژی، اندازه، توانایی سازگار کردن یک ذره معین به منظور مقاومت در برابر محیط آنزیمی، بهبود فراهمی زیستی، قابلیت جذب سلولی، تحرک بالا نسبت به ریزذرات، پایداری و کنترل در سیستم‌های رهایش دارو، عملکرد چندگانه در نانو پزشکی، سمیت کمتر در مقایسه با سایر ترکیبات، افزایش پایداری مواد مغذی با محافظت از آنها در محیط‌های اسیدی و بازی قوی و ظرفیت حمل بالا (۶). اگرچه هنوز برخی از مکانیسم‌های خاص ضد میکروبی نانو ذرات به خوبی مشخص نشده‌اند، اما این نانو ذرات می‌توانند با اتصال به دیواره و غشاء سلول‌ها و نفوذ به داخل آنها، به ساختارهای سلولی آسیب برسانند و باعث القای تولید گروه‌های فعال اکسیژن و تغییر مکانیسم‌های انتقال سیگنال در سلول گردند (۷ و ۸). همچنین نانو ذرات ممکن است با تولید آدنوزین تری فسفات، بیان پروتئین‌های مرتبط را سرکوب کنند (۹ و ۱۰). اخیراً مضاربات مقاومت‌های دارویی در گونه‌های مختلف از میکرووارگانیسم‌ها دیده می‌شود. به عنوان مثال گونه‌های مختلف قارچ‌های رشتهدی آسپرژیلوس، می‌توانند در افراد سرکوب شده سیستم ایمنی به عنوان عوامل فرست‌طلب بیماری‌زا انسانی عمل کنند (۱۱). اسپورهای این قارچ‌ها در آب، هوا، غذا و گرد و غبار وجود دارند که به عنوان آلرژن‌های قارچی در نظر گرفته می‌شوند (۱۲) و استنشاق کوئیدی‌های آنها ممکن است بیماری‌های مهاجم مخاطره‌آمیزی در ریه، سینوس‌ها و

شده فراهم شود. تعیین اندازه نانو ذرات توسط دستگاه پراکنده‌گی دینامیک نور (DLS) (Dynamic light scattering) شرکت فرانسوی Vasco3 Cordouan مدل Zeta Compact CAD. ساخت کشور فرانسه، مدل MIRA3 TESCAN (FE-SEM) (FE-SEM) به دست آمد. همچنین، از میکروسکوپ الکترونی روبشی گسیل میدانی برای تشخیص مورفولوژی و اندازه پودر خشک SeNPs استفاده شده است. مزیت اصلی تجزیه و تحلیل FE-SEM نسبت به تجزیه و تحلیل SEM، قدرت تفکیک به مراتب بهتر آن به دلیل منبع تولید الکترون انتشار میدانی می‌باشد. از طرفی دستگاه FE-SEM مجهز به طیف‌سنج پراکنده‌گی انرژی اشعه X (Energy-dispersive X-ray spectroscopy) می‌باشد که به آن ضمیمه شده است و علاوه بر تصویربرداری از سطح نمونه، داده‌های مربوطه عناصر تشکیل‌دهنده نمونه نیز قابل استخراج می‌باشد. طیف‌سنج پراکنده‌گی انرژی اشعه X (EDX) یکی از روش‌های تحلیلی است که برای تجزیه و تحلیل عناصر ساختاری نمونه‌ها استفاده می‌شود (۲۴).

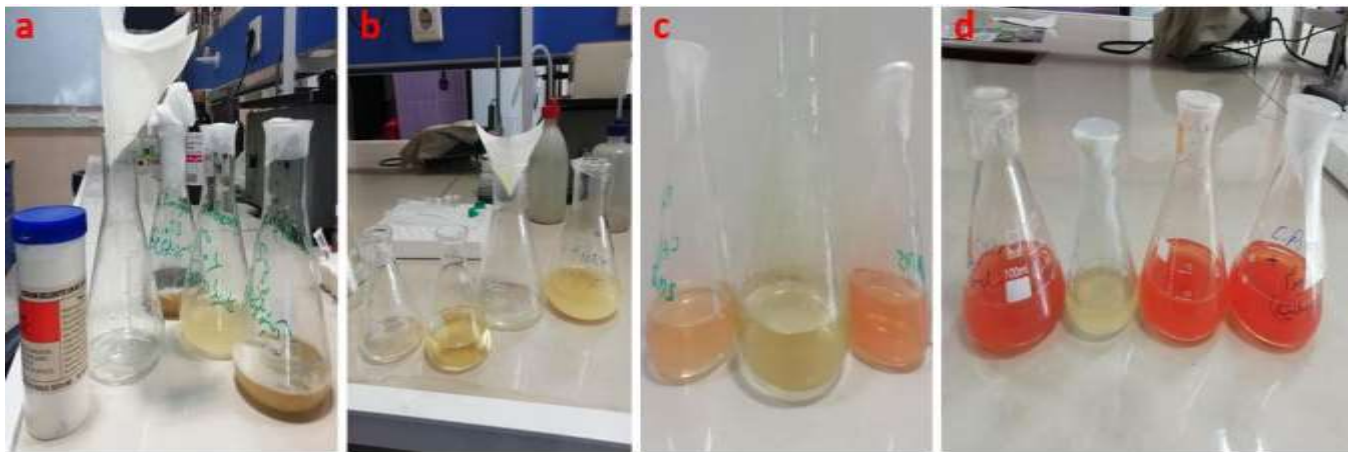
تعیین حساسیت ضدقارچی به کمک تست MIC انجام شد. حساسیت ضدقارچی با استفاده از روش مرجع توصیه شده توسط گایدالین M38-A2 موسسه استانداردهای بالینی و آزمایشگاهی (Clinical & Laboratory Standards Institute) به صورت دو بار تکرار انجام شد (۲۵). چهار سویه استاندارد آسپرژیلوس مقاوم به دارو A. fumigatus: TIMML-025، A. fumigatus: TIMML-050، A. flavus: TIMML-050 و A. flavus: TIMML-379 (۰۲۶) (تهیه شده توسط گروه قارچ‌شناسی دانشگاه علوم پزشکی تهران) بر روی پلیت‌های حاوی محیط سابورو دکستروز آگار Sabouraud (SDA) (دextrose agar (مرک، آلمان)) کشت داده شدند. سپس در شرایط استریل از کلنی‌های موردنظر بهوسیله لوب پلاستیکی یک‌بار مصرف، داخل ۵ میلی‌لیتر محیط کشت مایع RPMI-1640 (سیگما آلدريج، ایالات متحده آمریکا) تلخیق کرده و سوسپانسیون قارچی تهیه شد. در ادامه طبق دستورالعمل CLSI، میزان نور عبوری از سوسپانسیون‌ها در طول موج ۵۳۰ نانومتر با استفاده از اسپکتروفوتومتر نور مرئی بین ۸۰-۸۲ درصد اندازه‌گیری شد که نشان‌دهنده وجود یک میلیون میکروارگانیسم در یک میلی‌لیتر محیط کشت بوده و باید هزار برابر رقیق شود. پودر دارویی خالص ایترکنازول (Janssen Janssen) (بلژیک) و آمفوتیریسین B (Bristol-Mers-Squib, Woerden, هلند) تهیه شد. پلیت‌های ۹۶ خانه با انجام رقت‌سازی سریالی به ترتیب ۶۴، ۳۲، ۱۶، ۸، ۴، ۲، ۱، ۰/۵، ۰/۲۵ و ۰/۱۲۵ میکروگرم در میلی‌لیتر از عوامل ضدقارچی (شامل داروها و نانو ذرات) آماده گردید. سپس ۱۰۰ میکرولیتر از سوسپانسیون‌های قارچی با در نظر گرفتن کنترل منفی

fumigatus: TIMML-025 گونه استاندارد از قارچ آسپرژیلوس در محیط کشت مایع سابورو دکستروز برات (SDB) (Merck, Germany) به مدت ۴۸ ساعت روی شیکرانکوباتور و در دمای ۳۵ درجه سانتی‌گراد کشت داده شد. پس از این مدت، سوپرناتانت محیط کشت مایع که در حقیقت دارای انواع پروتئین‌های آلی و آنزیم‌های احیاکننده حاصل از رشد و متابولیسم میکروارگانیسم قارچی مورد نظر می‌باشد، بهوسیله کاغذ صافی و اتمن شماره ۱ از محیط کشت قارچ جدا شد. سپس ۱۰۰ میلی‌گرم سلتیت سدیم (Na₂SeO₃) در ۱۰ میلی‌لیتر آب مقطر حل گردید و به ۱۰۰ میلی‌لیتر از سوپرناتانت محیط کشت قارچ به منظور احیاء یون‌های سلنیوم، اضافه شد و در دمای ۲۸ سانتی‌گراد به مدت ۲۴ ساعت و ترجیحاً دور از نور انکوبه و شیک گردید. پس از این زمان یون‌های Se³⁺ تحت تاثیر پروتئین‌ها و آنزیم‌های محیط، احیاء شده و تولید نانو ذرات به صورت ماکروسکوپی با تغییر رنگ محیط از زرد به نارنجی مایل به قرمز قابل مشاهده بود (۲۲ و ۲۳). در حقیقت محلول قرمز رنگ کلوریدی حاوی نانو ذرات سلنیوم بوده که به صورت خارج سلولی بیوسنتر شده‌اند و برای آزمایشات بعدی مورد استفاده قرار گرفت. قسمتی از محلول کلوریدی نیز توسط دستگاه فریز درایر در دمای -۷۶-۷۶ درجه سانتی‌گراد و فشار ۰/۰۱ میلی بار خشک شده و تبدیل به پودر شد.

حضور SeNPs بیوسنتر شده توسط قارچ آسپرژیلوس فومیکاتوس و با استفاده از طیف‌سنجی UV-Vis در طول موج طیف نور فرابنفش - مرئی و محدوده ۲۵۰-۸۰۰ نانومتر با دستگاه اسپکتروفوتومتر UV مدل ۲۵۵ Shimadzu (ژاپن) تأیید شد. دلیل استفاده از محدوده طول موج ۲۵۰-۸۰۰ نانومتر در این است که میزان جذب نور در طول موج‌های پایین تر از ۲۵۰ نانومتر زیاد بوده و پالس‌های اضافی مشاهد می‌شود. از طرفی شدت جذب نور در طول موج‌های بالاتر از ۸۰۰ نانومتر بسیار پایین بوده و نمودار موردنظر شبیه یک خط صاف خواهد بود. پس از آن با تشكیل یک قرص نازک برومید پتاسیم حاوی پودر خشک شده نانو ذرات و با استفاده از دستگاه اسپکتروفوتومتر Thermo Nicolet FT-IR AVATAR 370 (USA) طیف خواهد در ناحیه طیفی ۴۰۰-۴۰۰۰ cm⁻¹ تهیه شد. علاوه بر این، پودر خشک SeNPs با استفاده از دستگاه پراش‌سنج اشعه ایکس (X-ray) Model GNR Co. (EXPLORER, EXPLORER, CR) مورد ارزیابی قرار گرفت که در حقیقت ساختار فاز کربیستالی نانو ذرات بیوسنتر شده بهوسیله تجزیه و تحلیل پراش اشعه ایکس (XRD) در ولتاژ ۴۰ کیلو ولت و با تابش Cu-Kα بررسی شد. سپس محلول کلوریدی کاملاً ورتس شد تا محلول همگن و یکنواختی برای بررسی اندازه ذرات و پتانسیل زتای نانو ذرات بیوسنتر

الگوی مقاومت این قارچ‌ها با اثر داروهای ضدقارچی تجاری مقایسه شد. در حقیقت از نانو ذرات بیوسنتر شده به وسیله میکرووارگانیسم قارچی، علیه خود عوامل قارچی استفاده گردید. این نانو ذرات با محصولات متابولیکی و آنزیم‌ها و پروتئین‌های ترشحی در محیط کشت قارچ پوشانده شده‌اند و در صورت تیمار روی گونه‌هایی از همان خانواده، راحت‌تر به غشای سلولی قارچ متصل شده و وارد سلول می‌شوند (۲۷). بررسی این شرایط اجازه می‌دهد تا اثر بازدارندگی واقعی این نانو ذرات اندازه‌گیری شود.

(NC) و کنترل مثبت (PC) به همه چاهک‌ها اضافه شد. در نهایت درب پلیت محکم بسته شد تا از تبخیر محتويات چاهک‌ها جلوگیری شود و پلیت در دمای ۳۵ درجه سانتی‌گراد به مدت ۴۸ تا ۲۴ ساعت انکوبه شد. مطابق با دستورالعمل موسسه استانداردهای بالینی و آزمایشگاهی (CLSI) در مورد گونه‌های آسپرژیلوس، حداقل غلظت عوامل بازدارنده رشد در حقیقت غلظت چاهکی است که ۱۰۰ درصد عدم‌رشد قارچ را نشان داده است (۲۶). در اینجا از نانو ذرات سلینیوم بیوسنتر شده علیه سویه‌های استاندارد قارچ‌های رشته‌ای استفاده شد و



شکل ۱- مراحل بیوسنتر نانو ذرات سلینیوم به کمک قارچ آسپرژیلوس فومیگاتوس (a) کشت در محیط مایع، (b) جداسازی توده سلولی با کاغذ صافی و افزودن نمک سلینیوم به سوپرناتانت حاصل، (c) و (d) تغییر رنگ محلول کلوفیدی واکنش پس از ۱۲ تا ۴۸ ساعت

پروتئین قارچی و نقش این پروتئین‌ها به عنوان عوامل پایدارکننده‌ای که نانو ذرات را احاطه می‌کنند، هدف روش یاد شده است. بر اساس آنالیز FT-IR، طیف‌های حاصل، حضور گروه‌های کاربردی مختلف مانند باندهای O-H کثیفی، پیوندهای آمیدی، ارتعاشات کششی N-C-O و C-O-H را نشان دادند (۳۰).

الگوی XRD حاصل از SeNPs های مورد مطالعه تأیید کرد که این نانو ذرات تشکیل شده‌اند و ماهیت آرایش کربیتانی آنها متمایز می‌باشد. زیرا که قارچ‌های رشته‌ای مانند A. fumigatus متابولیسم کاملی دارند (۳۱) و پروتئین‌ها و آنزیم‌های کاهنده قابل توجهی در محیط کشت مایع آزاد می‌کنند که برای کاهش هرچه بهتر و کامل‌تر یون‌های سلینیوم موجود در محیط ضروری می‌باشد (۳۲). در شکل ۴ شدت پراش اشعه X با زوایای ۲۰ و در محدوده ۲۰ تا ۸۰° مشاهده می‌شود. اندازه متوسط نانو ذرات با استفاده از معادله Debye-Scherrer [D = 0.9λ / (β cos θ)] در حدود ۳۷ نانومتر بود.

میکروسکوپ الکترونی روبشی گسیل میدانی (FE-SEM) موجودهای SeNPs را نشان می‌دهد. وجود نانو ذرات سلینیوم با شکل تقریباً کروی و سایز تقریباً ۳۷ تا ۴۶ نانومتر، با مقیاس ۲۰۰ و ۵۰۰

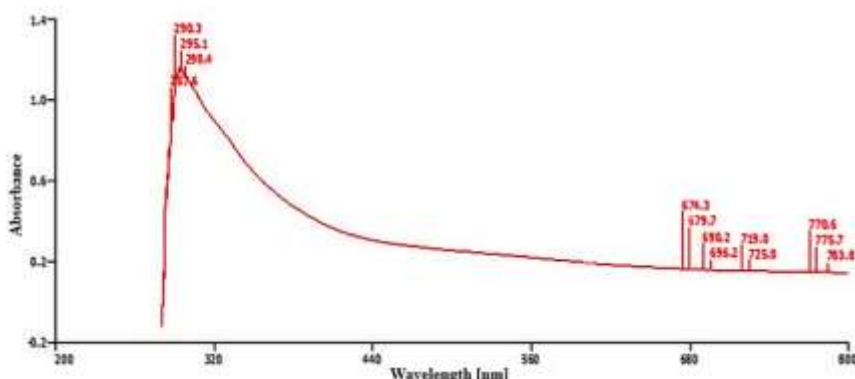
نتایج

با استفاده از طیف‌سنجی UV-Vis ثبت شده برای SeNPs در محدوده طول موج نور فرابینفش - مرئی ۲۵۰-۸۰۰ نانومتر (با پسوند ۱ نانومتر)، کاهش زیستی یون‌های سلینیوم مورد ارزیابی قرار گرفت. در درجه اول سنتر خارج سلولی موفقیت‌آمیز نانو ذرات سلینیوم پس از افزودن Na_2SeO_3 با تغییر رنگ محلول کلوفیدی به نارنجی مایل به قرمز نمایان شد. سپس حداکثر پلاسمن رزونانس سطحی (Surface plasmon resonance (SPR)) پیک SeNPs (۲۹۵ nm) مشاهده شد (۲۸ و ۲۹).

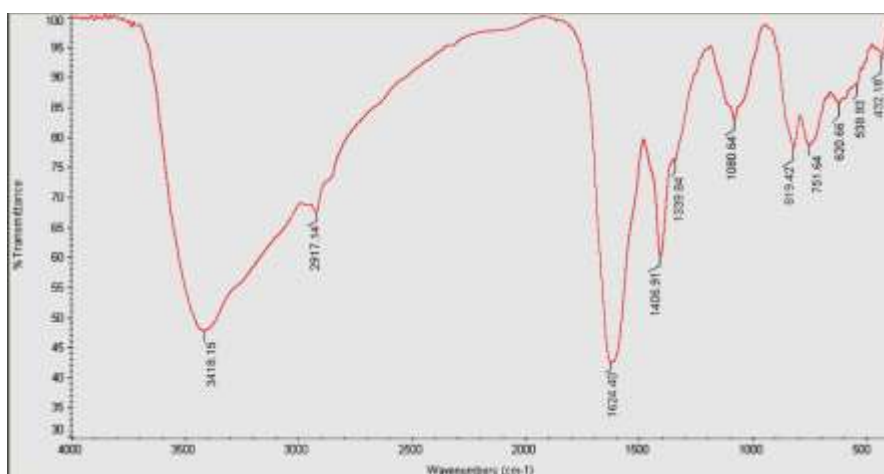
پایداری و پراکنده‌گی مناسب نانو ذرات به برهم‌کنش آنها با پروتئین‌های قارچی نسبت داده می‌شود. به نظر می‌رسد عامل پوششی، پروتئین‌هایی باشند که سلول‌های قارچی ترشح کرده‌اند. طی فرآیند تولید نانو ذرات، پروتئین‌ها عامل پوششی را روی نانو ذرات تشکیل می‌دهند و با جلوگیری از تراکم ذرات موجب پایداری آنها می‌شوند. نمودار حاصل پس از سنتر نانو ذرات، ۵ پیک اصلی را در محدوده‌های $819/42$, $1080/64$, $1406/91$, $1624/40$ و $3418/15$ نشان می‌دهد. مشخص کردن برهم‌کنش نانو ذرات با

توجه به نمودار EDX ارایه شده، وجود عناصر اکسیژن (O)، سدیم (Na) و سلنیوم (Se) در ساختار نمونه سنتز شده تأیید شد.

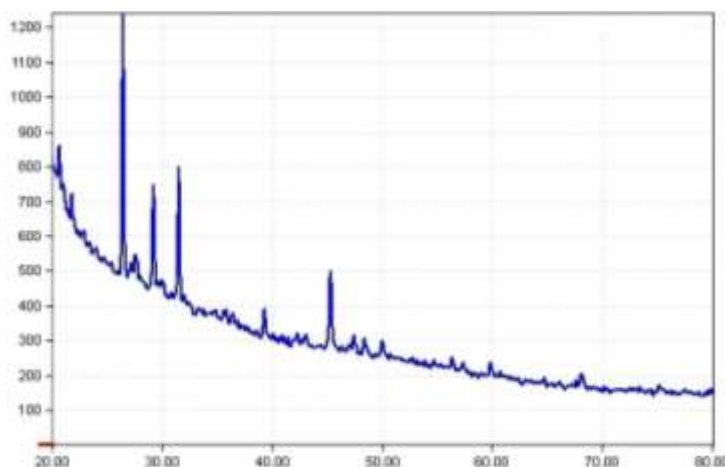
نانومتر و با کمک میکروسکوپ الکترونی روبشی اثبات شد. میکروگراف میکروسکوپ الکترونی روبشی همچنین نشان داد که پودر مورد بررسی از نانو ذرات سلنیوم کمی آگلomerه شده‌اند. همچنین با



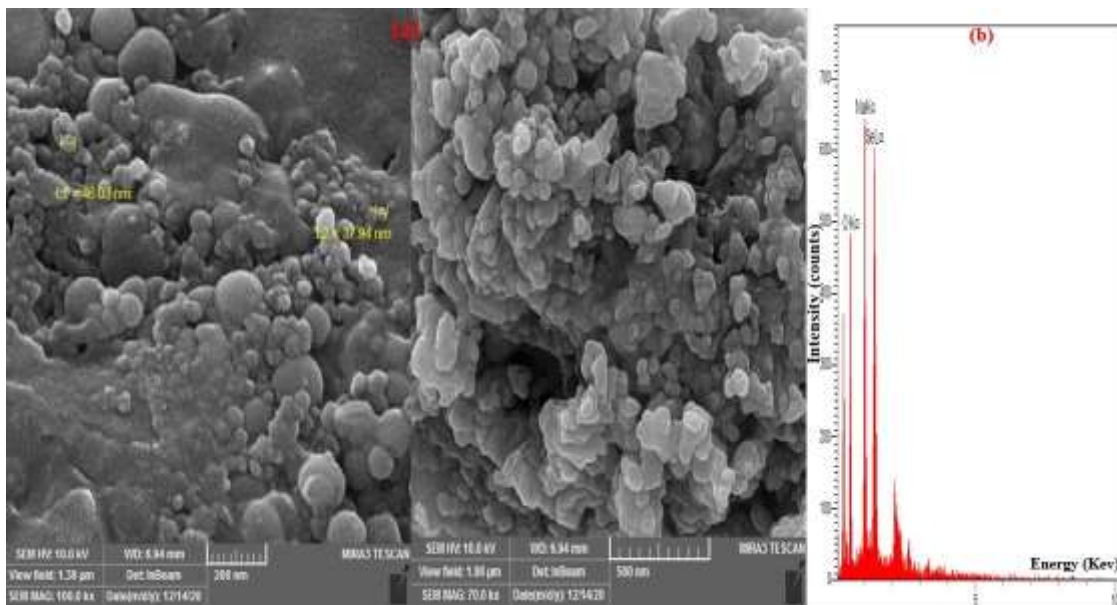
شکل ۲- طیف UV-Vis ثبت شده برای نانو ذرات سلنیوم به کمک میکرووارگانیسم قارچی آسپرژیلوس فومیگاتوس



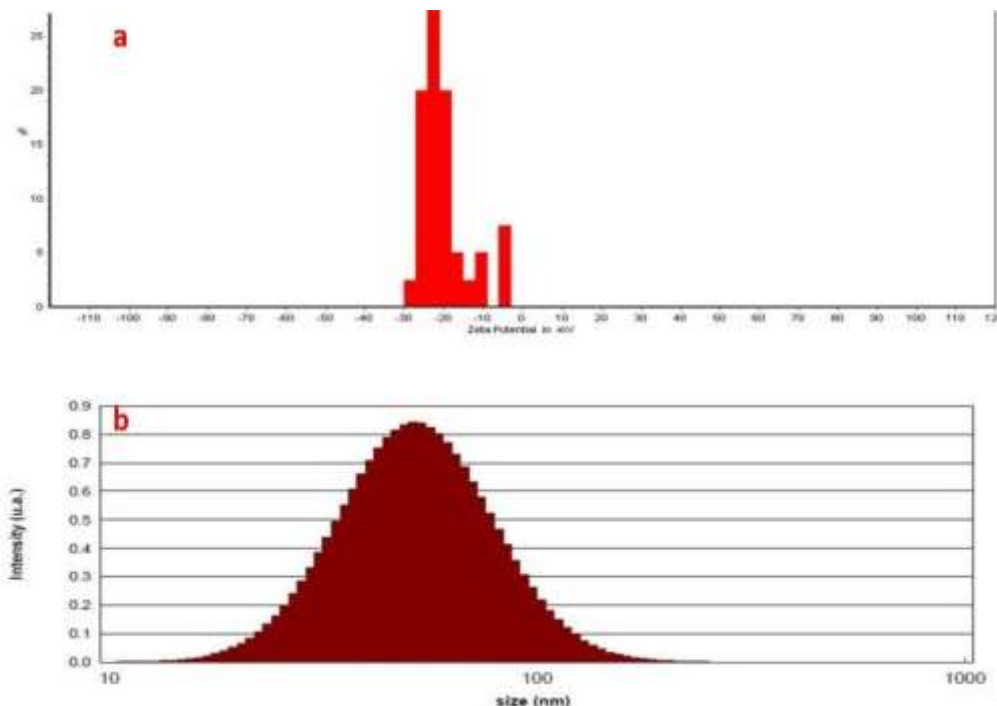
شکل ۳- طیف FT-IR ثبت شده از پودر نانو ذرات سلنیوم بیوسنتز شده توسط قارچ آسپرژیلوس فومیگاتوس



شکل ۴- نمودار طیف‌سنجی پراش پرتو ایکس (XRD) حاصل از نانو ذرات سلنیوم سنتز شده به روش زیستی



شکل ۵- تأیید نانو ذرات سلنیوم به دست امده به روش زیستی با استفاده از میکروسکوپ الکترونی و EDX (a) تصاویر میکروسکوپ الکترونی FE-SEM نانو ذرات سلنیوم (b) نمودار تأییدی EDX



شکل ۶- (a) پتانسیل زتا و (b) اندازه نانو ذرات سلنیوم بیوسنتز شده با آسپرژیلوس فومیگاتوس

جدول ۱- نتایج MIC داروهای ایتراکونازول و آمفوتربیسین B علیه سویههای استاندارد آسپرژیلوس

سویههای استاندارد قارچی	عوامل ضد قارچی	مقادیر MIC ($\mu\text{g/mL}$)
<i>A. fumigatus</i> : TIMML-025	Itraconazole	۸
<i>A. fumigatus</i> : TIMML-025	SeNPs	۱
<i>A. fumigatus</i> : TIMML-026	Itraconazole	۴
<i>A. fumigatus</i> : TIMML-026	SeNPs	.۵
<i>A. flavus</i> : TIMML-050	Amphotericin B	۸
<i>A. flavus</i> : TIMML-050	SeNPs	۱
<i>A. flavus</i> : TIMML-379	Amphotericin B	۴
<i>A. flavus</i> : TIMML-379	SeNPs	.۵

میکروگرم در میلی لیتر و حتی کمتر از آن کاهش یافت. نتایج MIC برای عوامل ضد قارچی با جزئیات در جدول ۱ مشخص شده است. همچنین تصویری از پلیت ۹۶ خانه‌ای از فعالیت ضد قارچی در شکل ۷ نشان داده شده است.



شکل ۷- تصویر از پلیت جهت ارزیابی فعالیت ضد قارچی، شامل اثر SeNPs و داروهای ضد قارچی

بحث

با توجه به روند افزایشی سویههای قارچی مقاوم به دارو و همچنین افزایش استفاده از داروهای ضدقارچی برای درمان عفونت‌های مرتبط و عوارض جانبی متعدد این داروها، اهمیت روز افزون یافتن روشی جایگزین یا مکمل با خاصیت مهار این میکروارگانیسم‌ها نمایان می‌گردد (۳۶). بر این اساس توجه بیشتر به مطالعه سایر گزینه‌ها، از جمله استفاده از نانو ذرات زیستی، با کاربردهای گسترده و خواص منحصر به فرد، پیشنهاد می‌شود (۳۷). همان‌طور که وانگ و همکاران در سال ۲۰۱۷ در مطالعه‌ای بیان کردند که به دلیل مقاومت‌های دارویی پیش‌بینی شده در برابر آنتی‌بیوتیک‌ها در آینده، درمان عفونت‌ها پیچیده خواهد بود و نانو ذرات می‌توانند جایگزین مناسبی برای آنها باشند (۳۸). ستزهای سبز یا زیستی به عنوان روش‌های جدید ستز نانو ذرات با رویکردی ساده، زیست سازگار، بی‌خطر و اقتصادی می‌توانند جایگزین روش‌های شیمیایی و فیزیکی باشند و معایب تولید مواد سمی را ندارند (۳۰ و ۳۹). در تحقیقی که توسط Rafique و همکاران در سال ۲۰۱۷ انجام شد، نشان داده شده است که ستز سبز نانو ذرات بیولوژیکی و کاربرد آنها به جای روش‌های

پس از قرار دادن محلول کلورئیدی به مدت نیم ساعت در حمام اولتراسونیک (در دمای ۳۰ درجه سانتی‌گراد) میانگین پتانسیل زتا برای نانو ذرات سلنیوم بیوسنتر شده با کمک *A. fumigatus*-۲۱ میلی‌ولت در pH=۷/۴ و دمای ۲۲/۴ درجه سانتی‌گراد بوده که نشان می‌دهد نانو ذرات سلنیوم بیوسنتر شده در محلول کلورئیدی پایدار هستند. از آنجایی که بارهای مشابه دارای خاصیت دفع یکدیگر هستند، پایداری بالاتری برای نانو ذرات فراهم شده و از تجمع آنها جلوگیری می‌شود.

از سویی دیگر ارزیابی SeNPs‌های بیوسنتر شده بر حسب توزیع اندازه ذرات متوسط در محلول کلورئیدی در شکل ۶ نشان داده شده است. میانگین اندازه SeNPs بر اساس تجزیه و تحلیل DLS، بزرگتر از میزان به دست آمده توسط آنالیز XRD یا FE-SEM بود. این پدیده ممکن است به موادی نسبت داده شود که سطوح نانو ذرات را می‌پوشانند و آنها را ثابت می‌کنند و با سنجش هیستوگرام به دست آمده از DLS تداخل ایجاد می‌کنند (۳۴). از طرفی در بررسی اندازه نانو ذرات به روش DLS چون از نمونه کلورئیدی جهت شناسایی و تعیین اندازه استفاده می‌شود، تجمع اجتناب‌ناپذیر نانو ذرات با یکدیگر می‌تواند دلیل بر افزایش اندازه آنها باشد (۳۵). در نهایت وجود *A. fumigatus*‌های بیوسنتر شده توسط SeNPs تقریباً ۷۵ نانومتر توسط DLS اثبات شد.

نتایج به دست آمده از تست تعیین حساسیت، مهار رشد قارچ‌ها را در حضور غلاظت‌های پایین‌تر نانو ذرات سلنیوم در مقایسه با داروهای ضد قارچی نشان داد. در اینجا از داروی ایتراکونازول به عنوان داروی هدف برای گونه‌های آسپرژیلوس فومیگاتوس و از داروی آمفوتربیسین B به عنوان داروی هدف برای گونه‌های آسپرژیلوس فلاووس استفاده شده است. مقادیر MIC برای داروهای ایتراکونازول و آمفوتربیسین B علیه سویههای استاندارد قارچ‌های آسپرژیلوس فومیگاتوس و آسپرژیلوس فلاووس به ترتیب ۸ و ۴ میکروگرم در میلی لیتر بود. در حالی که مقادیر MIC برای نمونه‌های تیمار شده با SeNPs به ۱

نقره را در برابر اشرشیاکلی نشان دادند و تأکید شد که وقتی میکرووارگانیسم‌ها در معرض نانو ذرات نقره قرار می‌گیرند، تکثیر خود را از دست می‌دهند و پروتئین‌های سلولی آنها غیرفعال می‌شوند (۵۰). مهمترین مزیت مطالعه حاضر در این است که ما نانو ذرات سلنیوم را به کمک میکرووارگانیسم قارچی بیوسنتر کردیم و سپس آنها را بر علیه خود عوامل قارچی به کار گرفتیم. در یک تحقیق در سال ۲۰۱۷، لطفعلی و همکاران MIC های نانو ذرات سلنیوم را به تنها بی و در ترکیب با فلوکونازول (FLU)، ایتراکونازول (ITR) و آمفوتربیسین B (AMB) بر روی سویه‌های مقاوم قارچ مخمری کاندیدا پاراپسیلوزیس (Candida parapsilosis) مورد بررسی قرار دادند (۵۱). در حالی که مطالعه حاضر، بر روی چندین سویه استاندارد قارچی مقاوم به دارو انجام شده است. در مطالعه‌ای دیگر که توسط وحدتی و همکاران در سال ۲۰۲۰ صورت گرفت، نشان داده شد که میزان MIC برای نانو ذرات تیمار شده بر روی باکتری‌های استافیلوکوکوس اورئوس (Escherichia coli) و اشرشیا کلی (Staphylococcus aureus) مقایسه با آنتی‌بیوتیک‌های معمولی کاهش یافته است (۵۲)، که این مفهوم با مطالعه حاضر مطابقت دارد. پس می‌توان گفت که این نانو ذرات می‌توانند به عنوان عامل بازدارنده رشد در میکرووارگانیسم‌های بیماری‌زای انسانی نقش داشته باشند (۵۳).

یکی از مهمترین مزیت‌های احتمالی استفاده از نانو ذرات به تنها بی و یا استفاده همزمان از نانو ذره و دارو، تسهیل عبور نانو ذرات و داروها از غشاء سلول قارچ از طریق تخریب غشا توسط نانو ذره می‌باشد که عامل کمک‌کننده در مهار عفونت‌های قارچی است (۵۳). همان‌طور که یاچی و همکاران در تحقیقات اخیر خود در سال ۲۰۲۰ نشان دادند که نانولیپوپیوزوم حاوی عصاره گیاه با برخورداری از ویژگی‌های مناسب فیزیکی و شیمیایی، افزایش پایداری دارو، کنترل خوب رهابش و سهولت عبور دارو از غشاء سلول، می‌تواند یک عامل ضدقارچ امیدوارکننده با اثرات ضد قارچی بالا و عوارض جانبی کم باشد (۵۴). پیش از آن نیز هوانگ و همکاران در سال ۲۰۱۱ تسهیل عبور دارو به همراه نانو ذرات را با توجه اندازه آنها بررسی کردند و آنها هم مشاهدات یکسانی داشتند (۵۵). این اثرات از طریق انتقال راحت‌تر نانو ذرات بیوسنتر شده از منافذ غشاء سلول و ورود به فضای داخل سلولی آنها و با مکانیسم غیرفعال کردن ژن‌های مقاومت دارویی میکرووارگانیسم‌ها و کاهش بیان ژن مورد نظر در مرحله رونویسی ژنوم می‌باشد (۵۶، ۵۷). حتی ممکن است این نانو ذرات بتوانند در مرحله ترجمه و پروتئین‌سازی سلول خلل ایجاد کنند و به حذف محصولات مضر، ناکارآمد و سمی سلول کمک کنند (۵۸-۶۰).

با توجه به استفاده روزافزون از داروهای ضدقارچی برای درمان بیماری‌های مربوطه، در آینده نزدیک شاهد مقاومت‌های دارویی

شیمیایی، یک روش سریع‌تر و ارزان‌تر از روش‌های شیمیایی است و خطرات کمتری برای انسان و محیط زیست دارد (۴۰). با توجه به اثرات ضدمیکروبی و ضدقارچی نانو ذرات زیستی سلنیوم، این نانو ذرات به عنوان عامل بالقوه‌ای برای بررسی‌های پیش رو در نظر گرفته می‌شوند (۴۱). سلنیوم یکی از عناصری است که اغلب به عنوان کاتالیزور در واکنش‌های کاهش اکسیداسیون استفاده می‌شود (۴۲) و دارای اثرات آنتی‌اکسیدانی، ضدسرطانی (۴۳) و ضدمیکروبی است و در رشد و نمو سلول‌ها و تعادل سیستم ایمنی بدن انسان نقش دارد (۴۴). اهمیت این مطالعات زمانی واضح‌تر می‌شود که به اثربخشی مهاری نانو ذرات مذکور همراه با اثر مطلوب و غیرسایتوکسیک آنها در محیط In vitro پی می‌بریم؛ به طوری که طبق مطالعات پیشین، عوارض جانبی در استفاده از این نانو ذرات بیوسنتر شده برای انسان گزارش نشده است. ضایایی و همکاران در سال ۲۰۱۴ در تحقیق انجام شده بر روی اثر نانو ذرات سلنیوم بر سیستم‌های زیستی و اکولوژیکی نشان دادند که در حال حاضر مدرکی دال بر تأثیر منفی این نانو ذرات بر روی انسان وجود ندارد (۴۵).

در مطالعه حاضر نانو ذرات سلنیوم به روش زیستی به کمک یک سویه استاندارد قارچی و به صورت خارج سلولی بیوسنتر شدن. در اینجا تغییر رنگ محلول کلورئیدی، از زرد به نارنجی تیره به عنوان اولین علامت بیوسنتر خارج سلولی نانو ذرات مشاهده شد و با چندین روش آزمایشگاهی دیگر، تشکیل و حضور نانو ذرات مورد تایید قرار گرفت و اثبات شد. در سایر مطالعات، از جمله مطالعه ژانگ و همکاران در سال ۲۰۱۹ و تحقیقات موسالام و همکاران در سال ۲۰۱۸، روش مشابهی برای سنتز نانو ذرات سلنیوم به کار گرفته شد (۴۶ و ۴۷). بر اساس نتایج به دست آمده در مطالعه کنونی، قابلیت و توانایی نانو ذرات بیوسنتر شده در جلوگیری از رشد سویه‌های استاندارد قارچی و اثر مهاری مطلوب آنها بر روی رشد این میکرووارگانیسم‌ها در روش MIC مشاهده گردید. علاوه بر این، استفاده از نانو ذرات به تنها بی و توانست منجر به جلوگیری از رشد عوامل قارچی در چند چاهک مورد نظر در پلیت ۹۶ خانه‌ای شود. طبق مقایسه نتایج، عملکرد این نانو ذرات نسبت به داروهای ضد قارچی به کار رفته مؤثرتر بود، به گونه‌ای که آنها حتی در غلظت‌های پایین‌تر نیز توانستند از رشد قارچ‌ها در چاهک جلوگیری کنند. محمودی و همکاران در مطالعه اخیر خود در سال ۲۰۲۰ نشان دادند که نانو ذرات سلنیوم حتی در غلظت کمتر از داروهای ضد قارچی معمول، به میزان بیشتر و بهتری از رشد قارچ‌ها جلوگیری می‌کنند (۴۸). همچنین نقش و همکاران اثرات ضد قارچی نانو ذرات نقره را با داروی فلوکونازول بر آسپرژیلوس فومیگاتوس مقایسه کردند که نتایج آنها کاهش رشد قارچ را در حضور نانو ذرات مشخص می‌کرد (۴۹). سوندی و همکاران اثر ضد باکتریایی نانو ذرات

کارکنان آزمایشگاه فارج‌شناسی پزشکی بیمارستان قائم (عج) دانشگاه علوم پزشکی مشهد تشکر و قدردانی می‌نماییم.

References

1. Kalishwaralal K, Jeyabharathi S, Sundar K, Selvamani S, Prasanna M, Muthukumaran A. A novel biocompatible chitosan–Selenium nanoparticles (SeNPs) film with electrical conductivity for cardiac tissue engineering application. *Materials Science and Engineering: C*. 2018;92:151–60. doi: [10.1016/j.msec.2018.06.036](https://doi.org/10.1016/j.msec.2018.06.036)
2. Pourakbar L, Moghaddam SS, Popović-Djordjević J. Synthesis of metal/metal oxide nanoparticles by green methods and their applications. *Sustainable Agriculture Reviews* 41: Springer; 2020. p. 63–81. doi: [10.1007/s12210-021-01021-0](https://doi.org/10.1007/s12210-021-01021-0)
3. Hosseini Bafghi M, Safdari H, Nazari R, Darroudi M, Sabouri Z, Zargar M, et al. Evaluation and comparison of the effects of biosynthesized selenium and silver nanoparticles using plant extracts with antifungal drugs on the growth of Aspergillus and Candida species. *Rendiconti Lincei Rend Lincei Sci Fis Nat* 2021;32:791–803. doi: [10.1007/s12210-021-01021-0](https://doi.org/10.1007/s12210-021-01021-0)
4. Radhakrishnan R, Mani U, Gnanamani A, Shanmugavel M. Myco-Fabricated Gold Nanoparticles from Aspergillus tamarii MTCC5152, its Characterization and Dye Biodegradation. *Applied Microbiology: Theory & Technology* 2021;52–62. doi: [10.37256/amtt.222021792](https://doi.org/10.37256/amtt.222021792)
5. Khan I, Saeed K, Khan I. Nanoparticles: Properties, applications and toxicities. *Arabian Journal of Chemistry* 2019;12:908–31. doi: [10.1016/j.arabjc.2017.05.011](https://doi.org/10.1016/j.arabjc.2017.05.011)
6. Hosnedlova B, Kepinska M, Skalickova S, Fernandez C, Ruttkay-Nedecky B, Peng Q, et al. Nano-selenium and its nanomedicine applications: a critical review. *International Journal of Nanomedicine* 2018;13:2107. doi: [10.2147/IJN.S157541](https://doi.org/10.2147/IJN.S157541)
7. Sood A, Salih S, Roh D, Lacharme-Lora L, Parry M, Hardiman B, et al. Signalling of DNA damage and cytokines across cell barriers exposed to nanoparticles depends on barrier thickness. *Nature Nanotechnology* 2011;6:824–33. doi: [10.1002/jat.3654](https://doi.org/10.1002/jat.3654)
8. Flores-López LZ, Espinoza-Gómez H, Somanathan R. Silver nanoparticles: Electron transfer, reactive oxygen species, oxidative stress, beneficial and toxicological effects. Mini review. *Journal of Applied Toxicology* 2019;39:16–26.
9. Mittal AK, Kumar S, Banerjee UC. Quercetin and gallic acid mediated synthesis of bimetallic (silver and selenium) nanoparticles and their antitumor and antimicrobial potential. *Journal of Colloid and Interface Science* 2014;431:194–9. doi: [10.1016/j.jcis.2014.06.030](https://doi.org/10.1016/j.jcis.2014.06.030)
10. Xu C, Qiao L, Ma L, Guo Y, Dou X, Yan S, et al. Biogenic selenium nanoparticles synthesized by *Lactobacillus casei* ATCC 393 alleviate intestinal epithelial barrier dysfunction caused by oxidative stress via Nrf2 signaling-mediated mitochondrial pathway. *International Journal of Nanomedicine* 2019;14:4491. doi: [10.2147/IJN.S199193](https://doi.org/10.2147/IJN.S199193)
11. Shankar J, Tiwari S, Shishodia SK, Gangwar M, Hoda S, Thakur R, et al. Molecular insights into development and virulence determinants of Aspergilli: A proteomic perspective. *Frontiers in Cellular and Infection Microbiology* 2018;8:180. doi: [10.3389/fcimb.2018.00180](https://doi.org/10.3389/fcimb.2018.00180)
12. Richardson M, Rautemaa-Richardson R. Exposure to Aspergillus in home and healthcare facilities' water environments: Focus on biofilms. *Microorganisms* 2019;7:7. doi: [10.3390/microorganisms7010007](https://doi.org/10.3390/microorganisms7010007)
13. Seyedmousavi S, Guillot J, Arné P, De Hoog GS, Mouton JW, Melchers WJ, et al. Aspergillus and aspergilloses in wild and domestic animals: a global health concern with parallels to human disease. *Medical Mycology* 2015;53:765–97. doi: [10.1093/mmy/myv067](https://doi.org/10.1093/mmy/myv067)

نسبت به اکثر گونه‌های قارچی بیماری‌زا خواهیم بود که این معضل در مورد سایر میکروارگانیسم‌های بیماری‌زا نیز مطرح خواهد بود و باعث می‌شود که مطالعه بر روی نانو ذرات و کاربرد و ویژگی‌های گستردۀ آنها بیشتر مورد توجه قرار گیرد (۶۱). بر اساس گزارشات اخیر لیو و همکاران در سال ۲۰۲۱، تأثیر نانو ذرات بی‌خطر زیستی بر روی سلول‌ها می‌تواند منجر به تقویت سیستم ایمنی میزان شود (۶۲). همچنین طی تحقیقاتی که توسط مینیزس و همکاران نشان داده شده است، استفاده از نانو ذرات در زنان باردار می‌تواند خطرات مصرف داروهای مختلف در دوران بارداری را با اتکا به مکانیسم‌های انتقال دارو کاهش دهد (۶۳). از سوی دیگر نانو ذرات تولید شده به روش زیستی می‌توانند به عنوان عوامل خدسرطانی در سیستم‌های کنترل سرطان نیز مؤثر باشند (۶۴). همان‌طور که داوارو همکاران در مطالعه بر روی مقاومت به شیمی درمانی در بیماران سرطانی به این نتیجه رسیدند که شیمی درمانی که مؤثرترین روش درمان سرطان است، در آینده با مقاومت دارویی مواجه خواهد شد (۶۵). از این رو بکارگیری سیستم نانو ذرات می‌تواند روش تازه و مؤثری برای کنترل آپوپتوز و مسیرهای سیگنالینگ در درمان بیماران سرطانی باشد (۶۶). در این زمینه وارونکومار و همکاران در مطالعات تازه‌ای در سال ۲۰۲۰ اثر نانو ذرات نقره را درمان سرطان ریه با مکانیسم کنترل آپوپتوز در رده سلولی بررسی کردند که نتایج امیدوارکننده‌ای به دست آمد (۶۷). در تحقیقی دیگر یالاپو و همکاران فعالیت خدسرطانی نانو ذرات کورکومین را در سرطان پروستات بررسی کردند و اثر مطلوب آن را گزارش نمودند (۶۸). همچنین در مطالعه اخیر توسط سیتراراسو و همکاران در سال ۲۰۲۱، تأثیر SeNPs بیولوژیکی بر سلول‌های سرطانی پستان با فعالیت ضدتکثیر سلول‌های سرطانی و با مکانیسم احتمالی ایجاد آپوپتوز پیشنهاد شده است (۶۹).

می‌توان نتیجه گرفت که با استناد به تحقیقات گذشته و همچنین نتایج مثبت به دست آمده از مطالعه حاضر، نانو ذرات بیوسترن شده به روش‌های زیستی دارای اثر بهتر و کارایی مناسب‌تری در مقایسه با نانو ذرات شیمیایی (تجاری) هستند و می‌توانند در آینده با تحقیقات کامل‌تر و گستردگر کمک شایانی به حوزه‌های مختلف پزشکی نمایند. این نانو ذرات به عنوان مکمل و یا حتی جایگزین خوبی برای حل مشکلات و مضلال مقاومت‌های دارویی پیش رو در میکروارگانیسم‌های بیماری‌زا از جمله مقاومت به داروهای ضدقارچی، مطرح هستند. از طرفی کاربرد این نانو ذرات بدون عوارض جانبی ناخواسته می‌باشد و در دنیای امروز کاملاً مقرر به صرفه و اقتصادی است.

تشکر و قدردانی

بدین وسیله از گروه بیوتکنولوژی و نانوتکنولوژی دانشکده پزشکی دانشگاه علوم پزشکی مشهد تشکر می‌کیم. همچنین از همکاری

14. Kousha M, Tadi R, Soubani A. Pulmonary aspergillosis: a clinical review. *European Respiratory Review* 2011;20:156-74. doi: [10.1183/09059180.00001011](https://doi.org/10.1183/09059180.00001011)
15. Amini F, Mirhendi H, Kachuei R, Noorbakhsh F. Detection and Identification of *Aspergillus fumigatus* in BAL Samples of Patients with Suspected Tuberculosis by Nested-PCR. *Iranian Journal of Medical Microbiology* 2014;8:14-21.
16. Jenkins DR. Nosocomial infections and infection control. *Medicine* 2017;45:629-33. doi: [10.1016/j.mpmed.2017.07.005](https://doi.org/10.1016/j.mpmed.2017.07.005)
17. Diba K, Makhdoomi K, Rahimrad M, Jabari D. Survey of opportunistic fungi in the clinical and environmental specimens obtained from Urmia educational hospitals. *Journal of North Khorasan University of Medical Sciences* 2014;6:51-8.
18. Lakhani P, Patil A, Majumdar S. Challenges in the polyene-and azole-based pharmacotherapy of ocular fungal infections. *Journal of Ocular Pharmacology and Therapeutics* 2019;35:6-22. doi: [10.1089/jop.2018.0089](https://doi.org/10.1089/jop.2018.0089)
19. Martínez-Esquivias F, Guzmán-Flores JM, Pérez-Larios A, González Silva N, Becerra-Ruiz JS. A Review of the Antimicrobial Activity of Selenium Nanoparticles. *Journal of Nanoscience and Nanotechnology* 2021;21:5383-98. doi: [10.1166/jnn.2021.19471](https://doi.org/10.1166/jnn.2021.19471)
20. Bafghi MH, Darroudi M, Zargar M, Zarrinfar H, Nazari R. Biosynthesis of selenium nanoparticles by *Aspergillus flavus* and *Candida albicans* for antifungal applications. *Micro & Nano Letters* 2021. doi: [10.1049/mna2.12096](https://doi.org/10.1049/mna2.12096)
21. Nayak V, Singh KR, Singh AK, Singh RP. Potentialities of selenium nanoparticles in biomedical science. *New Journal of Chemistry* 2021;45:2849-78. doi: [10.1039/DONJ05884J](https://doi.org/10.1039/DONJ05884J)
22. Srivastava N, Mukhopadhyay M. Green synthesis and structural characterization of selenium nanoparticles and assessment of their antimicrobial property. *Bioprocess and Biosystems Engineering* 2015;38:1723-30.
23. Bafghi MH, Nazari R, Darroudi M, Zargar M, Zarrinfar H. The effect of biosynthesized selenium nanoparticles on the expression of CYP51A and HSP90 antifungal resistance genes in *Aspergillus fumigatus* and *Aspergillus flavus*. *Biotechnol Prog* 2021;e3206. doi: [10.1002/btpr.3206](https://doi.org/10.1002/btpr.3206)
24. Scimeca M, Bischetti S, Lamsira HK, Bonfiglio R, Bonanno E. Energy Dispersive X-ray (EDX) microanalysis: A powerful tool in biomedical research and diagnosis. *European Journal of Histochemistry: EJH* 2018;62. doi: [10.4081/ejh.2018.2841](https://doi.org/10.4081/ejh.2018.2841)
25. Koehler A, Corbellini VA, Heidrich D, Schrofeneker ML. Prediction of itraconazole minimum inhibitory concentration for *Fonsecaea pedrosoi* using Fourier Transform Infrared Spectroscopy (FTIR) and chemometrics. *Plos One* 2020;15:e0243231.
26. Siopi M, Pournaras S, Meletiadis J. Comparative evaluation of Sensititre YeastOne and CLSI M38-A2 reference method for antifungal susceptibility testing of *Aspergillus* spp. against echinocandins. *Journal of Clinical Microbiology* 2017;55:1714-9. doi: [10.1128/jcm.00044-17](https://doi.org/10.1128/jcm.00044-17)
27. Zomorodian K, Pourshahid S, Sadatsharifi A, Mehryar P, Pakshir K, Rahimi MJ, et al. Biosynthesis and characterization of silver nanoparticles by *Aspergillus* species. *BioMed Research International* 2016;2016. doi: [10.1155/2016/5435397](https://doi.org/10.1155/2016/5435397)
28. Delgado-Belén Y, Martínez-Núñez C, Cortez-Valadez M, Flores-López N, Flores-Acosta M. Optical properties of silver, silver sulfide and silver selenide nanoparticles and antibacterial applications. *Materials Research Bulletin* 2018;99:385-92. doi: [10.1016/j.materesbull.2017.11.015](https://doi.org/10.1016/j.materesbull.2017.11.015)
29. Srivastava N, Mukhopadhyay M. Biosynthesis and structural characterization of selenium nanoparticles using *Gliocladium roseum*. *Journal of Cluster Science* 2015;26:1473-82.
30. Pantidos N, Horsfall LE. Biological synthesis of metallic nanoparticles by bacteria, fungi and plants. *Journal of Nanomedicine & Nanotechnology* 2014;5:1. doi: [10.4172/2157-7439.1000233](https://doi.org/10.4172/2157-7439.1000233)
31. Drott MT, Rush TA, Satterlee TR, Giannone RJ, Abraham PE, Greco C, et al. Microevolution in the pansecondary metabolome of *Aspergillus flavus* and its potential macroevolutionary implications for filamentous fungi. *Proceedings of the National Academy of Sciences* 2021;118. doi: [10.1073/pnas.2021683118](https://doi.org/10.1073/pnas.2021683118)
32. Troiano D, Orsat V, Dumont M. Status of filamentous fungi in integrated biorefineries. *Renewable and Sustainable Energy Reviews* 2020;117:109472. doi: [10.1016/j.rser.2019.109472](https://doi.org/10.1016/j.rser.2019.109472)
33. Hosseini Bafghi M, Zarrinfar H, Darroudi M, Zargar M, Nazari R. Green synthesis of selenium nanoparticles and evaluate their effect on the expression of ERG3, ERG11 and FKS1 antifungal resistance genes in *Candida albicans* and *Candida glabrata*. *Letters in Applied Microbiology* 2022;74:809-19. doi: [10.1111/lam.13667](https://doi.org/10.1111/lam.13667)
34. Soliman AM, Abdel-Latif W, Shehata IH, Fouad A, Abdo AM, Ahmed YM. Green approach to overcome the resistance pattern of *Candida* spp. using biosynthesized silver nanoparticles fabricated by *Penicillium chrysogenum* F9. *Biological Trace Element Research* 2021;199:800-11.
35. Kazemi M, Akbari A, Sabouri Z, Soleimanipour S, Zarrinfar H, Khatami M, et al. Green synthesis of colloidal selenium nanoparticles in starch solutions and investigation of their photocatalytic, antimicrobial, and cytotoxicity effects. *Bioprocess and Biosystems Engineering* 2021;44:1215-25.
36. Perlin DS, Rautemaa-Richardson R, Alastruey-Izquierdo A. The global problem of antifungal resistance: prevalence, mechanisms, and management. *Lancet Infect Dis* 2017;17:e383-92. doi: [10.1016/S1473-3099\(17\)30316-X](https://doi.org/10.1016/S1473-3099(17)30316-X)
37. Abdelghany T, Al-Rajhi AM, Al Abboud MA, Alawlaqi M, Magdah AG, Helmy EA, et al. Recent advances in green synthesis of silver nanoparticles and their applications: about future directions. A review. *BioNanoScience* 2018;8:5-16.
38. Wang L, Hu C, Shao L. The antimicrobial activity of nanoparticles: present situation and prospects for the future. *Int J Nanomedicine* 2017;12:1227. doi: [10.2147%2FIJN.S121956](https://doi.org/10.2147%2FIJN.S121956)
39. Feng QL, Wu J, Chen GQ, Cui F, Kim T, Kim J. A mechanistic study of the antibacterial effect of silver ions on *Escherichia coli* and *Staphylococcus aureus*. *Journal of Biomedical Materials Research* 2000;52:662-8. doi: [10.1002/1097-4636\(20001215\)52:4%3C662::AID-JBM10%3E3.0.CO;2-3](https://doi.org/10.1002/1097-4636(20001215)52:4%3C662::AID-JBM10%3E3.0.CO;2-3)
40. Rafique M, Sadaf I, Rafique MS, Tahir MB. A review on green synthesis of silver nanoparticles and their applications. *Artificial Cells, Nanomedicine, and Biotechnology* 2017;45:1272-91. doi: [10.1080/21691401.2016.1241792](https://doi.org/10.1080/21691401.2016.1241792)
41. Rasouli M. Biosynthesis of selenium nanoparticles using yeast *Nematospora coryli* and examination of their anti-candida and anti-oxidant activities. *IET Nanobiotechnol* 2019;13:214-8. doi: [10.1049/iet-nbt.2018.5187](https://doi.org/10.1049/iet-nbt.2018.5187)
42. Delacôte C, Bonakdarpour A, Johnston CM, Zelenay P, Wieckowski A. Aqueous-based synthesis of ruthenium–selenium catalyst for oxygen reduction reaction. *Faraday Discussions* 2009;140:269-81. doi: [10.1039/B8063773](https://doi.org/10.1039/B8063773)
43. Jackson MI, Combs GF. Selenium as a cancer preventive agent. *Selenium*: Springer; 2011. p.313-23. doi: [10.1007/978-1-4614-1025-6_24](https://doi.org/10.1007/978-1-4614-1025-6_24)
44. Rayman MP. Selenium and human health. *The Lancet* 2012;379:1256-68. doi: [10.1016/S0140-6736\(11\)61452-9](https://doi.org/10.1016/S0140-6736(11)61452-9)
45. Ziyaei N. Study the toxicological effect of nanosilver particle on biological and ecological systems. *Agricultural Biotechnology Journal* 2014;6:121-48.

46. Zhang H, Zhou H, Bai J, Li Y, Yang J, Ma Q, et al. Biosynthesis of selenium nanoparticles mediated by fungus *Mariannaea* sp. HJ and their characterization. *Colloids and Surfaces A: Physicochemical and Engineering Aspects* 2019;571:9-16. doi: [10.1016/j.colsurfa.2019.02.070](https://doi.org/10.1016/j.colsurfa.2019.02.070)
47. Mosallam FM, El-Sayyad GS, Fathy RM, El-Batal AI. Biomolecules-mediated synthesis of selenium nanoparticles using *Aspergillus oryzae* fermented Lupin extract and gamma radiation for hindering the growth of some multidrug-resistant bacteria and pathogenic fungi. *Microbial Pathogenesis* 2018;122:108-16. doi: [10.1016/j.micpath.2018.06.013](https://doi.org/10.1016/j.micpath.2018.06.013)
48. Mahmoudi S, Vahidi M, Malekabad ES, Izadi A, Khatami M, Dadashi A. In vitro antifungal activity of green synthesized silver nanoparticles in comparison to conventional antifungal drugs against *Trichophyton interdigitale*, *Trichophyton rubrum* and *Epidemophyton floccosum*. *Infectious Disorders-Drug Targets (Formerly Current Drug Targets-Infectious Disorders)*. 2021;21:370-4. doi: <https://doi.org/10.2174/187152652066200715095744>
49. Naghsh N, Doudi M, Safaeinejad Z. The Antifungal Activity of Silver Nanoparticles and Fluconazole on *AspergillusFumigatus*. *Medical Laboratory Journal* 2013;7:7-12.
50. Sondi I, Salopek-Sondi B. Silver nanoparticles as antimicrobial agent: a case study on *E. coli* as a model for Gram-negative bacteria. *Journal of Colloid and Interface Science* 2004;275:177-82. doi: <https://doi.org/10.1016/j.jcis.2004.02.012>
51. Lotfali E, Shahverdi AR, Mohammadi R, Noorbakhsh F, Ghajari A, Ansari S, et al. In Vitro Activity of Two Nanoparticles on Clinical Isolates of *Candida parapsilosis*, Showing Resistance Against Antifungal Agents in Children. *Arch Clin Infect Dis* 2017;12. doi: [%2010.5812/archid.13853](https://doi.org/10.5812/archid.13853)
52. Vahdati M, Moghadam TT. Synthesis and characterization of selenium nanoparticles-lysozyme nanohybrid system with synergistic antibacterial properties. *Scientific Reports* 2020;10:1-10.
53. Lee N-Y, Ko W-C, Hsueh P-R. Nanoparticles in the treatment of infections caused by multidrug-resistant organisms. *Frontiers in Pharmacology* 2019;10:1153. doi: [10.3389/fphar.2019.01153](https://doi.org/10.3389/fphar.2019.01153)
54. Yakhchi V, Jahanizadeh S, Yazdian F, Rashedi H, Haghitalsadat BF. Synthesis and Evaluation of Lipid-based Nanoparticle Containing Ginger Extract against *Aspergillus* Species. *Journal of Shahid Sadoughi University of Medical Sciences*. 2020. doi: [10.18502/ssu.v28i6.4155](https://doi.org/10.18502/ssu.v28i6.4155)
55. Zhang L, Pornpattananangkul D, Hu C-M, Huang C-M. Development of nanoparticles for antimicrobial drug delivery. *Current Medicinal Chemistry* 2010;17:585-94. doi: [10.2174/092986710790416290](https://doi.org/10.2174/092986710790416290)
56. Lara HH, Guisbiers G, Mendoza J, Mimun LC, Vincent BA, Lopez-Ribot JL, et al. Synergistic antifungal effect of chitosan-stabilized selenium nanoparticles synthesized by pulsed laser ablation in liquids against *Candida albicans* biofilms. *International Journal of Nanomedicine* 2018;13:2697. doi: [10.2147%2FIJN.S151285](https://doi.org/10.2147%2FIJN.S151285)
57. Pelgrift RY, Friedman AJ. Nanotechnology as a therapeutic tool to combat microbial resistance. *Advanced Drug Delivery Reviews* 2013;65:1803-15. doi: [10.1016/j.addr.2013.07.011](https://doi.org/10.1016/j.addr.2013.07.011)
58. Sindhwan S, Chan WC. Nanotechnology for modern medicine: next step towards clinical translation. *Journal of Internal Medicine* 2021. doi: [10.1111/joim.13254](https://doi.org/10.1111/joim.13254)
59. Tamiyakul H, Roytrakul S, Jaresithikunchai J, Phaonakrop N, Tanasupawat S, Warisnoicharoen W. Changes in protein patterns of *Staphylococcus aureus* and *Escherichia coli* by silver nanoparticles capped with poly (4-styrenesulfonic acid-co-maleic acid) polymer. *Asian Biomed* 2019;13:39-47. doi: [10.1515/abm-2019-0039](https://doi.org/10.1515/abm-2019-0039)
60. Cui D, Zhang H, Wang K, Gao F, Zhang X, Asahi T, et al. Gold Nanoparticles Enhance Efficiency of In Vitro Gene Transcription-Translation System. *Nano Biomedicine & Engineering* 2011;3. doi: [10.5101/nbe.v3i2.p120-125](https://doi.org/10.5101/nbe.v3i2.p120-125)
61. Firooz A, Daneshpazhooh M, Lotfali E, Sharzad Kavkani M, Ghasemi Z, Khamesipoor A, et al. Drug Sensitivity Profile of Fungi Isolated from Onychomycosis Patients and Evaluation of Squalene Epoxidase Mutation in One Terbinafine-Resistant *Trichophyton mentagrophytes* Species. *Microbial Drug Resistance* 2021. doi: [10.1089/mdr.2020.0572](https://doi.org/10.1089/mdr.2020.0572)
62. Liu Q, Duo Y, Fu J, Qiu M, Sun Z, Adah D, et al. Nano-immunotherapy: Unique mechanisms of nanomaterials in synergizing cancer immunotherapy. *Nano Today* 2021;36:101023. doi: [10.1016/j.nantod.2020.101023](https://doi.org/10.1016/j.nantod.2020.101023)
63. Menezes V, Malek A, A Keelan J. Nanoparticulate drug delivery in pregnancy: placental passage and fetal exposure. *Current Pharmaceutical Biotechnology* 2011;12:731-42.
64. Vemuri SK, Banala RR, Mukherjee S, Uppula P, Subbaiah G, AV GR, et al. Novel biosynthesized gold nanoparticles as anti-cancer agents against breast cancer: Synthesis, biological evaluation, molecular modelling studies. *Materials Science and Engineering: C*. 2019;99:417-29. doi: [10.1016/j.msec.2019.01.123](https://doi.org/10.1016/j.msec.2019.01.123)
65. Dawar S, Singh N, Kanwar RK, Kennedy RL, Veedu RN, Zhou S-F, et al. Multifunctional and multitargeted nanoparticles for drug delivery to overcome barriers of drug resistance in human cancers. *Drug Discovery Today* 2013;18:1292-300. doi: [10.1016/j.drudis.2013.09.009](https://doi.org/10.1016/j.drudis.2013.09.009)
66. Zou J, Zhu B, Li Y. Functionalization of silver nanoparticles loaded with paclitaxel-induced A549 cells apoptosis through ROS-mediated signaling pathways. *Current Topics in Medicinal Chemistry* 2020;20:89-98. doi: [10.2174/1568026619666191019102219](https://doi.org/10.2174/1568026619666191019102219)
67. Varunkumar K, Anusha C, Saranya T, Ramalingam V, Raja S, Ravikumar V. *Avicennia marina* engineered nanoparticles induce apoptosis in adenocarcinoma lung cancer cell line through p53 mediated signaling pathways. *Process Biochemistry* 2020;94:349-58. doi: [10.1016/j.procbio.2020.04.034](https://doi.org/10.1016/j.procbio.2020.04.034)
68. Yallapu MM, Khan S, Maher DM, Ebeling MC, Sundram V, Chauhan N, et al. Anti-cancer activity of curcumin loaded nanoparticles in prostate cancer. *Biomaterials* 2014;35:8635-48. doi: [10.1016/j.biomaterials.2014.06.040](https://doi.org/10.1016/j.biomaterials.2014.06.040)
69. Cittrarasu V, Kaliannan D, Dharman K, Maluventhen V, Easwaran M, Liu WC, et al. Green synthesis of selenium nanoparticles mediated from *Ceropeltis bulbosa* Roxb extract and its cytotoxicity, antimicrobial, mosquitocidal and photocatalytic activities. *Scientific Reports* 2021;11:1-15.



Enhancing the Antifungal Effect of Biosynthesized Selenium Nanoparticles Using Aspergillus Fumigatus

Hamid Sadeghian (Ph.D.)¹, Hossein Zarrinfar (Ph.D.)², Hadi Safdari (M.Sc.)¹, Mohammad Hossein Ahmadi (Ph.D.)¹, Maedeh Tahan (B.Sc.)¹, Mahdi Hosseini Bafghi (Ph.D.)^{1*}

1- Dept. of Laboratory Sciences, Faculty of Paramedical, Mashhad University of Medical Sciences, Mashhad, Iran.

2- Dept. of Medical Parasitology and Mycology, School of Medicine, Mashhad University of Medical Sciences, Mashhad, Iran.

Received: 6 February 2022, Accepted: 18 June 2022

Abstract:

Introduction: Green synthesis as a new method of synthesis of nanoparticles with a simple, biocompatible, safe, and economical approach can be an alternative to chemical and physical processes. Fungi can convert some toxic ions into less harmful forms, including nanoparticles. Nanoparticles with a size of 1 to 100 nanometers have unique quantum properties. Today, the problems of drug resistance have been seen in different species of fungi. Selenium nanoparticles (SeNPs) are substances that have been reported to have antifungal properties. The present study aimed to investigate the antifungal effect of biosynthesized SeNPs using *Aspergillus fumigatus*.

Methods: For this purpose, SeNPs were biosynthesized with a specific concentration using *A. fumigatus*. The presence of nanoparticles was confirmed by various methods, including UV-Vis, FT-IR, FE-SEM, EDX, XRD, DLS, and Zeta potential. Then, susceptibility determination based on the Minimum Inhibitory Concentration (MIC) test was performed on standard fungal strains treated with SeNPs.

Results: After confirming the results of nanoparticle biosynthesis, the MICs for Itraconazole and Amphotericin B against the standard fungal strains were 8 and 4 µg/mL respectively. In comparison, MIC values for SeNPs-treated samples were reduced to 1 µg/mL and below.

Conclusion: Due to the increasing resistance of opportunistic fungi to target antifungal drugs, the use of biosafety SeNPs even at low concentrations can have favorable inhibitory effects on the growth of fungal pathogens.

Keywords: Green synthesis, Selenium nanoparticles, *Aspergillus*, Drug resistance, MIC.

Conflict of Interest: No

*Corresponding author: M. Hosseini Bafghi, Email: M_hosseini79@yahoo.com

Citation: Hamid Sadeghian, Hossein Zarrinfar, Hadi Safdari, Mohammad Hossein Ahmadi, Maedeh Tahan, Mahdi Hosseini Bafghi. Enhancing the antifungal effect of biosynthesized selenium nanoparticles using *Aspergillus fumigatus*. Journal of Knowledge & Health in Basic Medical Sciences 2022;17(3):40-51.